

## Механика материалов: прочность, ресурс, безопасность

УДК 620.191.33:539.42:531.7

### ОЦЕНКА РАЗМЕРОВ ЗОНЫ НЕУПРУГОГО ДЕФОРМИРОВАНИЯ У ВЕРШИНЫ ТРЕЩИНЫ НА ОСНОВЕ АНАЛИЗА ПОЛЕЙ ПЕРЕМЕЩЕНИЙ<sup>1</sup>

© А. С. Чернягин<sup>2,3</sup>, И. А. Разумовский<sup>3</sup>, Ю. Г. Матвиенко<sup>3</sup>

*Статья поступила 10 августа 2016 г.*

Поврежденной зоной (зоной неупругого деформирования) около вершины трещины считается область, в которой напряженно-деформированное состояние (НДС) не может быть описано собственными функциями решения упругой задачи о трещине (решения Вильямса). Для описания НДС вне поврежденной зоны используется указанное разложение Вильямса, в котором требуется учесть значительное количество регулярных членов. В качестве методов измерений параметров НДС в зоне трещины предлагается использовать оптико-цифровые методы, обеспечивающие возможность получения значительных объемов экспериментальной информации в виде полей перемещений поверхности исследуемого объекта непосредственно в цифровом виде.

**Ключевые слова:** трещина; механика разрушения; методы оценки сингулярных и несингулярных составляющих поля перемещений; погрешности моделирования; зона пластичности.

Пластические зоны, возникающие в области вершины трещины, отражают особенности поведения материала в конкретных условиях нагружения рассматриваемого элемента конструкции. Информация о размерах этих зон может быть использована для диагностики процесса накопления повреждения и разрушения [1 – 5].

Основы расчетного анализа нелинейного поведения материала в зоне вершины трещины к настоящему времени достаточно хорошо разработаны. Расчетно-аналитические методы решения соответствующих задач механики деформируемого твердого тела изложены в монографиях [5, 6]. Методы анализа упруго-пластического НДС в зонах трещин с использованием МКЭ рассмотрены в работах [3, 4, 7 – 11 и др.].

Не менее важной составляющей современных подходов к оценке прочности, трещиностойкости и ресурса конструкций является экспериментальный анализ поведения материала в области трещиноподобных дефектов (зонах пластичности, предразрушения и накопления повреждения). Для решения этой задачи разработаны и успешно применяются самые различные методы: оптическая [12] и рентгеновская [10] фрактодиагностика, спектр-интерферометрия [13] и электромагнитоакустика [12, 14].

Для анализа деформированного состояния в зонах трещин в натурных конструкциях наиболее пер-

спективными представляются оптико-цифровые методы — корреляции цифровых изображений (КЦИ) [15 – 17] и электронной цифровой спектр-интерферометрии (ЭЦСИ) [18, 19]. Эти методы, нашедшие активное применение как в лабораторных, так и в натурных исследованиях, обеспечивают возможность получения значительных (практически неограниченных) объемов экспериментальной информации в виде полей перемещений поверхности исследуемого объекта непосредственно в цифровом виде. Кроме того, преимуществами указанных методов являются их высокая чувствительность и бесконтактность.

Цель данного исследования — разработка методического подхода и соответствующей программы для оценки размеров области пластических деформаций (и других видов повреждений) в зоне трещиноподобных дефектов на основе математической обработки результатов экспериментальной регистрации полей перемещений. Здесь под «зоной повреждения» понимается область, где напряженно-деформированное состояние (НДС) отлично от упругого.

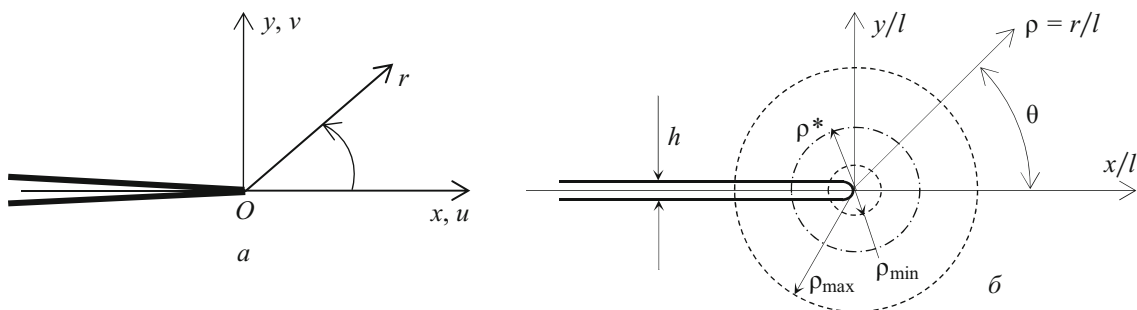
В основе методики лежит то обстоятельство, что НДС в локальной зоне вершины трещины не может быть описано соотношениями, соответствующими упругому НДС в области трещины [1 – 4]. Необходимым условием практического применения предлагаемой методики является использование для последующей математической обработки значительных массивов экспериментальной информации в виде полей тангенциальных перемещений в рассматриваемой зоне.

Предлагаемый подход является развитием методики определения коэффициентов интенсивности напря-

<sup>1</sup> Работа выполнена при поддержке гранта РНФ, проект 14-19-00776

<sup>2</sup> МГТУ им. Н. Э. Баумана, Москва, Россия;  
e-mail: cas@inbox.ru

<sup>3</sup> ИМАШ им. А. А. Благонравова РАН, Москва, Россия.



**Рис. 1.** Окрестность вершины трещины (а) и область локализации точек, используемых при получении аналитического представления полей перемещений в зоне трещины (б)

жений ( $K_I$ ,  $K_{II}$ ) при комбинированном нагружении на основе обработки интерференционных картин — полей максимальных касательных напряжений  $\tau_{\max}$  [20]. Решение задачи сводится к нахождению коэффициентов функций Вильямса, представляющих собой описание полей напряжений в зоне трещины, из условия минимума среднего квадратического отклонения (максимального касательного напряжения)  $\tau_{\max}$  во множестве расположенных в окрестности вершины трещины точек (рис. 1, а). В отличие от подхода, рассмотренного в работе [20], предлагаемая методика базируется на обработке полей тангенциальных перемещений  $u$  и  $v$  (см. рис. 1, а), асимптотика которых (в отличие от деформаций и напряжений) не является сингулярной. Очевидно, что указанное обстоятельство будет оказывать значительное негативное влияние на точность определения искомых параметров. Вместе с тем отметим, что оба подхода фактически сводятся к построению соответствующего исходной экспериментальной информации о НДС в зоне трещины аналитического решения задачи теории упругости в виде разложения по собственным функциям (функциям Вильямса).

Поскольку геометрия малой окрестности вершины реальной трещины (как в натурном объекте, так и в образце) в принципе не может рассматриваться в качестве «математического разреза», зона порядка  $r \leq (3 - 4)h$  ( $h$  — ширина трещины в окрестности вершины) исключается из области локализации исходных экспериментальных данных (рис. 1, б). Другой причиной, в соответствии с которой отмеченная зона  $r$  должна быть исключена из рассмотрения, является то, что в месте выхода трещины на свободную поверхность в окрестности точки  $O$  (см. рис. 1) имеет место трехмерное напряженное состояние, и асимптотика НДС

определяется отличными от соотношений Вильямса уравнениями [21].

В основе предлагаемой процедуры оценки размеров зоны поврежденного материала на основе обработки экспериментально полученных полей перемещений в «неповрежденных» зонах и в окрестности вершины трещины лежит следующее обстоятельство. Очевидно, что в случае когда НДС в зоне вершины трещины, используемой для определения коэффициентов функции Вильямса, близко к упругому, выбор зоны локализации экспериментально зарегистрированных полей перемещений  $\rho_{\min} \leq \rho \leq \rho_{\max}$ , применяемых для решения задачи, не будет оказывать заметного влияния на получаемые результаты. С другой стороны, при возникновении в окрестности вершины трещины существенных пластических деформаций, поврежденного металла и т.п. процедура становится неустойчивой. Можно ожидать, что, начиная с некоторой величины  $\rho > \rho^*$  и при дальнейшем ее увеличении, значения искомых параметров не будут изменяться. Тогда величину  $\rho = \rho^*$  можно приближенно считать радиусом зоны, где имеют место существенные погрешности моделирования задачи, что обусловлено наличием пластических деформаций или других типов повреждений материала.

#### Методика и программа определения коэффициентов разложения Вильямса на основе обработки полей тангенциальных перемещений

Поля перемещений  $u$ ,  $v$  в окрестности вершины трещин I и II типов могут быть представлены в виде известного разложения Вильямса:

$$u^I(r, \theta) = \sum_{n=1}^{\infty} \frac{r^{n/2}}{2G} a_n \left\{ \left[ \kappa + \frac{n}{2} + (-1)^n \right] \cos \frac{n\theta}{2} - \frac{n}{2} \cos \frac{(n-4)\theta}{2} \right\},$$

$$v^I(r, \theta) = \sum_{n=1}^{\infty} \frac{r^{n/2}}{2G} a_n \left\{ \left[ \kappa - \frac{n}{2} - (-1)^n \right] \sin \frac{n\theta}{2} + \frac{n}{2} \sin \frac{(n-4)\theta}{2} \right\},$$

$$u^{\text{II}}(r, \theta) = -\sum_{n=1}^{\infty} \frac{r^{n/2}}{2G} b_n \left\{ \left[ \kappa + \frac{n}{2} - (-1)^n \right] \sin \frac{n\theta}{2} - \frac{n}{2} \cos \frac{(n-4)\theta}{2} \right\},$$

$$v^{\text{II}}(r, \theta) = \sum_{n=1}^{\infty} \frac{r^{n/2}}{2G} b_n \left\{ \left[ \kappa - \frac{n}{2} + (-1)^n \right] \cos \frac{n\theta}{2} + \frac{n}{2} \cos \frac{(n-4)\theta}{2} \right\}, \quad (1)$$

где  $r, \theta$  — полярные координаты, связанные с вершиной трещины (см. рис. 1);  $\kappa$  — параметр типа напряженного состояния (для плоского напряженного состояния  $\kappa = \frac{3-v}{1+v}$ , для плоского деформированного состояния  $\kappa = 3 - 4v$ );  $G$  и  $v$  — модуль сдвига и коэффициент Пуассона материала. Отметим, что  $a_1 = K_I / \sqrt{2\pi}$ ,  $b_1 = K_{II} / \sqrt{2\pi}$ ,  $a_2 = T/4$ ,  $T$  — несингулярные  $T$ -напряжения, действующие в плоскости  $xOy$  [22].

Для расчета коэффициентов  $a_n, b_n$  из соотношений (1) можно использовать следующий подход. На основе экспериментов (или расчетов соответствующей краевой задачи) определяются тангенциальные перемещения (перемещения, возникающие на поверхности тела) в  $M$  точках:

$$u^* = \{u_1^*, u_2^*, \dots, u_m^*, \dots, u_M^*\}^T, \quad v^* = \{v_1^*, v_2^*, \dots, v_m^*, \dots, v_M^*\}^T.$$

Положение точек измерения характеризуется полярными координатами  $r_m = r_m^*$ ,  $\theta_m = \theta_m^*$ , т.е.

$$u^* = u^*(r^*, \theta^*), \quad v^* = v^*(r^*, \theta^*).$$

С другой стороны, указанным величинам перемещений в соответствие могут быть поставлены перемещения, рассчитанные для этих же точек на основе аналитических соотношений (1):

$$u = u(r^*, \theta^*), \quad v = v(r^*, \theta^*).$$

Представим выражение (1) в более удобном для дальнейших выкладок виде:

$$u^I(r, \theta) = \sum_{n=1}^N f_n^u(r, \theta) a_n, \quad v^I(r, \theta) = \sum_{n=1}^N f_n^v(r, \theta) a_n, \quad u^{\text{II}}(r, \theta) = \sum_{n=1}^N g_n^u(r, \theta) b_n, \quad v^{\text{II}}(r, \theta) = \sum_{n=1}^N g_n^v(r, \theta) b_n. \quad (2)$$

Величины коэффициентов  $a_n, b_n$  следует определять из условия наилучшего соответствия полей перемещений  $u_m, v_m$  ( $m = 1, \dots, M$ ) в области  $\rho_{\min} \leq \rho \leq \rho_{\max}$ ,  $-\theta_1 \leq \theta_2$ , описываемых выражениями (1), массиву экспериментально полученных перемещений  $u_m^*, v_m^*$ . Эта задача может быть решена на основе выполнения условия минимизации общей невязки  $\Delta$  между перемещениями  $u_i^*, u_i$  и  $v_i^*, v_i$ . В качестве меры расхождения перемещений может быть принято среднеквадратическое отклонение

$$\Delta = \sqrt{\frac{1}{2M} \left[ \sum_{m=1}^M (u_i^* - u_i)^2 + \sum_{m=1}^M (v_i^* - v_i)^2 \right]}. \quad (3)$$

Как известно, решение указанной задачи минимизации может быть получено из решения матричного уравнения

$$\{\mathbf{U}^*\} = [\mathbf{F}] \{\mathbf{A}\}, \quad (4)$$

где  $\mathbf{U}^*$  — вектор истинных величин перемещений  $u^*$  и  $v^*$ ;  $\mathbf{A}$  — вектор  $N$  неизвестных коэффициентов  $a_n, b_n$  в разложении Вильямса;  $\mathbf{F}$  — матрица значений функций (2) в точках  $r_i^*, \theta_i^*$  при соответствующих коэффициентах разложения (имеет размерность  $2M \times 2N$ ):

$$\mathbf{U}^* = \begin{Bmatrix} u_1^* \\ \dots \\ u_M^* \\ v_1^* \\ \dots \\ v_M^* \end{Bmatrix}, \quad \mathbf{F} = \begin{bmatrix} f_1^u(r_1^*, \theta_1^*) & \dots & f_N^u(r_1^*, \theta_1^*) & g_1^u(r_1^*, \theta_1^*) & \dots & g_N^u(r_1^*, \theta_1^*) \\ \dots & \dots & \dots & \dots & \dots & \dots \\ f_1^u(r_M^*, \theta_M^*) & \dots & f_N^u(r_M^*, \theta_M^*) & g_1^u(r_M^*, \theta_M^*) & \dots & g_N^u(r_M^*, \theta_M^*) \\ f_1^v(r_1^*, \theta_1^*) & \dots & f_N^v(r_1^*, \theta_1^*) & g_1^v(r_1^*, \theta_1^*) & \dots & g_N^v(r_1^*, \theta_1^*) \\ \dots & \dots & \dots & \dots & \dots & \dots \\ f_1^v(r_M^*, \theta_M^*) & \dots & f_N^v(r_M^*, \theta_M^*) & g_1^v(r_M^*, \theta_M^*) & \dots & g_N^v(r_M^*, \theta_M^*) \end{bmatrix}, \quad \mathbf{A} = \begin{Bmatrix} a_1 \\ \dots \\ a_N \\ b_1 \\ \dots \\ b_N \end{Bmatrix}.$$

Следует отметить, что соотношения (1) не включают линейные и угловое перемещения в плоскости  $xOy$  тела с трещиной как жесткого целого. Поэтому дополним матрицу  $\mathbf{F}$  и вектор  $\mathbf{A}$  компонентами:

$$\mathbf{F} = \begin{bmatrix} \{\} & [f_n^u(r_m^*, \theta_m^*)] & \{\} & [g_n^u(r_m^*, \theta_m^*)] & \{1 - \alpha r_m^* \sin \theta_m^*\} \\ \{\} & [f_n^v(r_m^*, \theta_m^*)] & \{\} & [g_n^v(r_m^*, \theta_m^*)] & \{\alpha r_m^* \cos \theta_m^*\} \end{bmatrix}, \quad \mathbf{A} = \begin{bmatrix} a_0 \\ \{a_n\} \\ b_0 \\ \{b_n\} \\ \alpha \end{bmatrix}, \quad (5)$$

где  $a_0, b_0$  — перемещения соответственно вдоль осей  $x, y$ ;  $\alpha$  — малый угол поворота тела как жесткого целого.

Разберем процедуру выбора оптимального количества учитываемых членов  $N$  разложения. Для текущего (выбранного) количества членов  $N$  решается уравнение (4), в котором  $\mathbf{A}$  и  $\mathbf{F}$  используются в форме (5). В результате определяются соответствующие коэффициенты разложения

$$\mathbf{A}^N = \{a_0 \{a_n\} b_0 \{b_n\} \alpha\} \quad (j = 1, \dots, N).$$

Заметим, что при этом матрица  $\mathbf{F} = \mathbf{F}^N$  имеет размерность  $2M \times (2N + 3)$ . Далее по соотношениям (1) вычисляется вектор величин перемещений  $\mathbf{U}^N$  и по формуле (4) рассчитывается невязка  $\Delta^N$ , соответствующие текущему количеству членов разложения  $N$ . Описанная расчетная процедура производится многократно при последовательном увеличении  $N$ , начиная с  $N = 1$  (при увеличении  $N$  на единицу количество столбцов матрицы  $\mathbf{F}$  увеличивается на два, как и количество элементов вектора  $\mathbf{A}$ ). Для каждого  $N$  определяется невязка  $\Delta^N$ . Условием прекращения процедуры и выбора оптимальной величины  $N$  может быть выполнение одного или двух сразу следующих условий: 1)  $\Delta^N \leq \varepsilon_\Delta$ ; 2)  $|\Delta^{N-1}|/\Delta^N \leq \varepsilon_\%,$  где параметры  $\varepsilon_\Delta, \varepsilon_\%$  выбираются исходя из точности расчета определения некоторых назначаемых параметров или на основе допустимых отклонений между полями перемещений  $u_m, v_m$  и  $u_m^*, v_m^*$ .

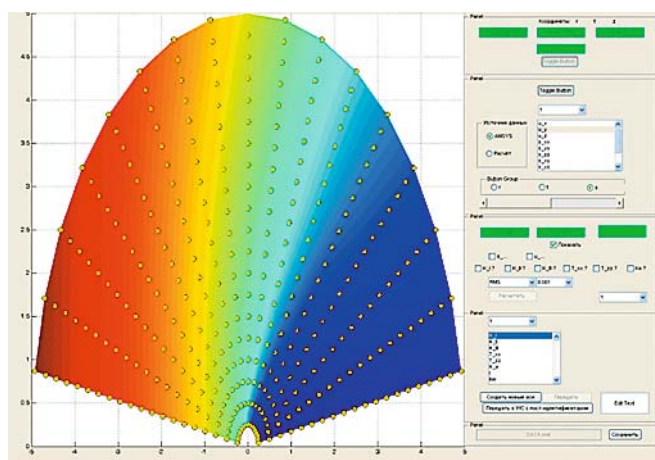


Рис. 2. Интерфейс программы получения коэффициентов разложения Вильямса визуализации НДС в зоне трещины

Представленная методика определения коэффициентов членов разложения Вильямса и, следовательно, получения аналитического представления полей перемещений в зоне трещины реализована в среде MatLab в виде программы с графическим интерфейсом (рис. 2).

Разработанная программа позволяет выполнять следующие операции.

1. Загружать результаты экспериментальных данных (или результатов расчета на основе численного эксперимента) — величины  $u^*, v^*$ , а также различные компоненты тензора напряжений; визуализировать поля перемещений и напряжений, используя интерполяцию данных.

2. Формировать координаты  $r^*, \theta^*$  равномерно распределенных по области точек измерения (для численного определения в них величин перемещений, с использованием ANSYS).

3. Осуществлять выборку массивов  $r^*, \theta^*$  и  $u^*, v^*$ , которые будут использоваться при определении коэффициентов разложения Вильямса, из имеющихся массивов точек измерений (этот функция обеспечивает возможность оценивать влияние локализации точек измерения на точность и сходимость процесса решения).

4. Проводить определение коэффициентов разложения  $a_n, b_n$  и  $a_0, b_0$ , а в соответствии с выбранным критерием завершения расчетов.

5. Визуализировать расчетные поля перемещений на основе найденных коэффициентов (графическое сопоставление данных полей с исходными позволяет судить о корректности полученного решения как в целом, так и в частности — в определенных областях около вершины трещины).

### Определение параметров механики разрушения и размеров зоны поврежденного материала

Как отмечено выше, при возникновении в окрестности вершины трещины НДС, которое вследствие появления пластических деформаций, поврежденного металла и прочих признаков существенно отличается от упругого, процедура определения параметров механики разрушения будет неустойчивой. С другой стороны, можно ожидать, что, исключив «поврежденную зону» из области исходных данных для расчета параметров механики разрушения, можно получить устойчивое решение задачи, которое позволит оценить раз-

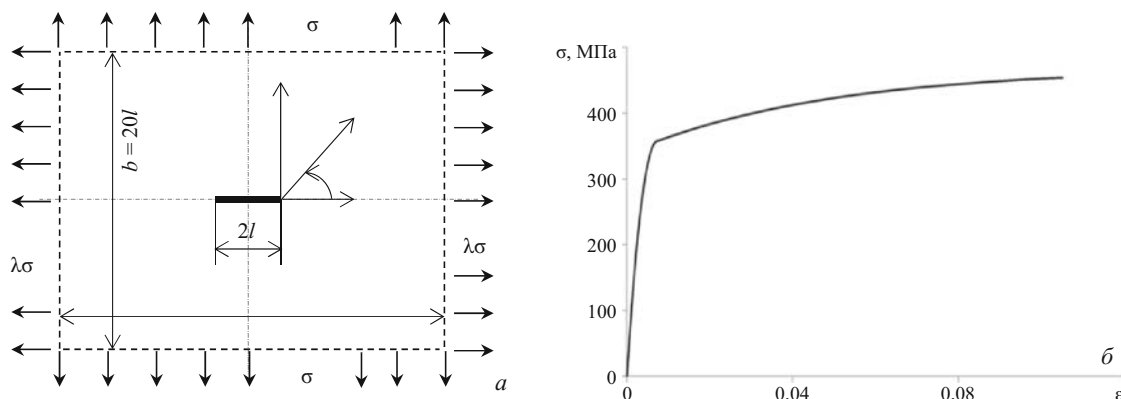


Рис. 3. Схема нагружения пластины с трещиной (а) и диаграмма деформирования материала пластины (б)

мер поврежденной зоны. Для определения возможностей такого подхода была рассмотрена краевая задача о НДС пластины ( $b = 20l$ ) с центральной сквозной трещиной длиной  $2l$ , нагруженной растягивающими нагрузками (рис. 3). Задача решалась для случая плоского напряженного состояния.

На первом этапе проводилась оценка влияния зоны локализации исходных данных на точность определения  $K_1$  и  $T$ -напряжений при отсутствии пластических деформаций. Некоторые результаты указанных расчетов представлены в таблице. Из них следует, что исключение из области локализации исходных данных зон больших размеров ( $\rho_{\max} = 0,3$  и более) практически не влияет на результаты оценки искомых параметров механики разрушения. Кроме того, для аналитического представления полей перемещений можно использовать значительное количество членов разложения Вильямса ( $N > 15$ ). Это означает, что соотношения (1) могут применяться для аналитического представления областей значительных размеров ( $r > l$ ).

Для оценки влияния случайной погрешности исходных данных были выполнены расчеты этой же задачи, в которых моделировалась погрешность экспериментальных результатов. После проведения расчетов НДС в найденные «точные» значения перемещений  $u, v$  с помощью датчика случайных чисел вносились погрешности (с заданным диапазоном разброса относительной погрешности  $\delta u, \delta v$ ). Расчеты показали, что даже при диапазоне разброса относительных погрешностей  $\delta u_{\max}, \delta v_{\max} \leq 15\%$  они не оказывают существенного влияния на точность результатов (относительная ошибка определения  $K_1$  по крайней мере в два раза меньше  $\delta u_{\max}, \delta v_{\max}$ ).

В качестве упругопластической задачи расчета НДС в зоне трещины рассматривалась краевая задача (см. рис. 3, а) для пластины из материала Д16Т, диаграмма деформирования которого представлена на рис. 3, б. Расчет НДС выполнялся с использованием ПК ANSYS. Полученные распределения перемещений и эквивалентных напряжений (по Мизесу), возникающих при  $\sigma = 2/\sqrt{3}\sigma_r = 150$  МПа, соответствующих упругопластическому НДС, представлены на рис. 4.

Отметим, что на изображении поля эквивалентного напряжения серым цветом указана область пластичности, размеры которой не превышают  $0,15 - 0,2l$ .

Результаты расчетов параметров механики разрушения  $K_1$  и  $T$ -напряжений, полученные на основе разработанной программы по полям перемещений  $u$  и  $v$  при использовании различных областей локализации исходных данных, представлены на рис. 5. (Отметим, что из решения упругой задачи при принятых величинах нагрузок следует, что условные «упругие» значения  $K_1 = 42,6$  МПа ·  $m^{1/2}$ ,  $T = -77,9$  МПа.) При расчетах точки «измерений» располагались равномерно в круговом секторе  $\rho_{\min} \leq \rho \leq \rho_{\max}, 0 \leq \theta \leq \pi$ .

Количество учитываемых членов разложения Вильямса  $N$  принято равным 15, так как в ряде случаев в качестве зоны локализации точек «измерений» использовалась существенно удаленная от вершины трещины зона, где влияние сингулярной составляющей поля напряжений проявляется в меньшей степени, чем влияние его регулярной составляющей.

Были также проведены аналогичные расчеты, в которых моделировалась погрешность экспериментальных данных. Результаты оказались близки оцен-

Величины  $K_1$  и  $T$ -напряжений в зависимости от локализации зон исходных данных и количества членов разложения  $N$

$\rho_{\min}$	$\rho_{\max}$	$N$	$K_1/\sigma\sqrt{\pi l}$	$T/\sigma$
0,1	0,6	2	0,992	-0,58
		3	0,997	-0,97
		5	1,014	-1,04
		10	1,014	-1,04
		15	1,014	-1,04
0,2	0,6	2	1,014	-0,59
		3	0,978	-0,96
		5	1,014	-1,04
		10	1,014	-1,04
		15	1,014	-1,04
0,3	0,6	2	1,014	-0,60
		3	0,961	-0,96
		5	1,015	-1,04
		10	1,014	-1,04
		15	1,014	-1,04

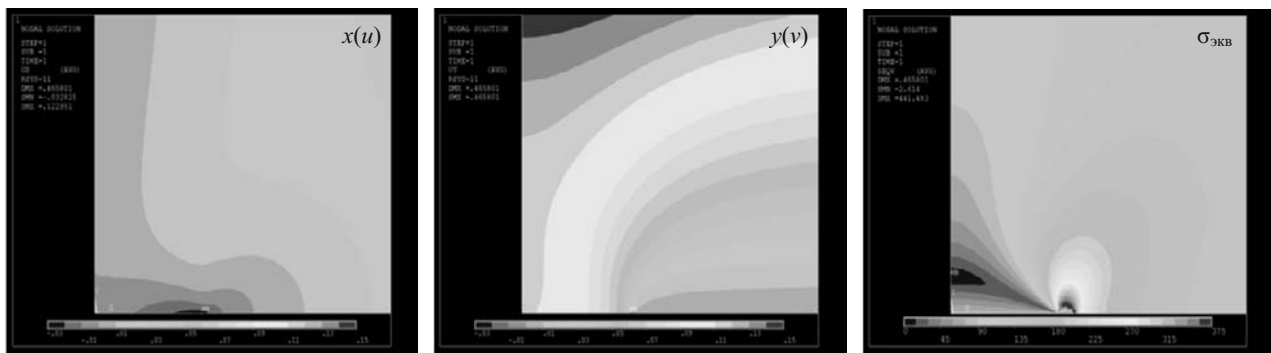


Рис. 4. Распределения перемещений вдоль осей  $x$  ( $u$ ) и  $y$  ( $v$ ), а также эквивалентных напряжений ( $\sigma_{\text{экв}}$ ) в зоне трещины

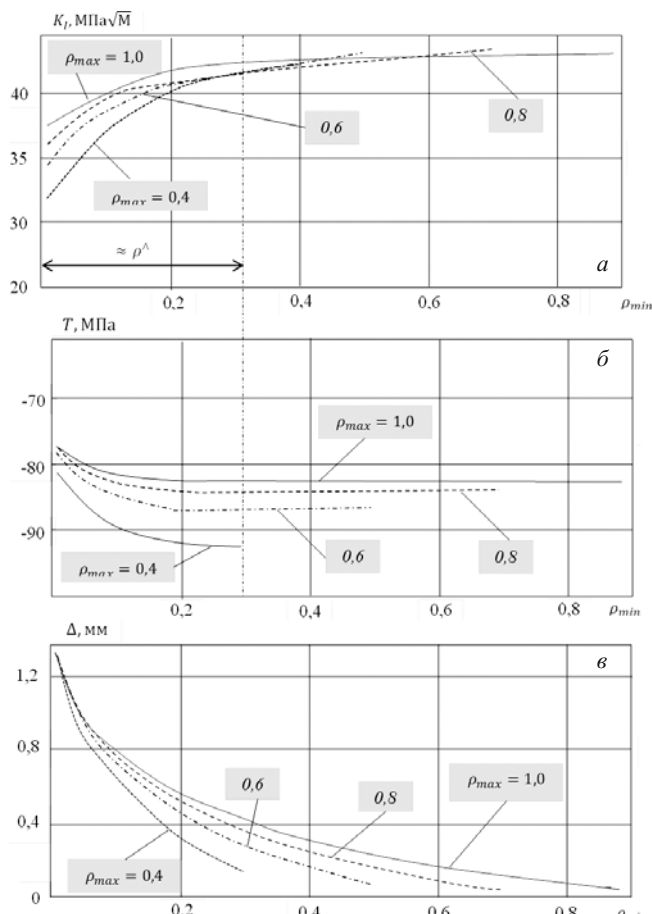


Рис. 5. Расчетные зависимости  $K_I$ ,  $T$ -напряжений и среднего квадратичного отклонения  $\Delta$  от величины  $\rho_{\min}$  при различных значениях  $\rho_{\max}$

кам влияния погрешностей, полученным для упругой задачи (при  $\delta u_{\max}, \delta v_{\max} \leq 15\%$  относительная ошибка определения  $K_I$  по крайней мере в два раза меньше  $\delta u_{\max}, \delta v_{\max}$ , а при определении  $T$ -напряжений несколько выше, но также менее погрешности исходных данных).

Основные результаты расчетов  $K_I$  и  $T$ -напряжений (см. рис. 5) получены следующим образом. При постоянной величине «верхней» границы области исходных данных ( $\rho_{\max} = \text{const}$ ) проводилась серия расчетов коэффициентов разложения Вильямса при последова-

тельном увеличении значения  $\rho_{\min}$  на основе обработки исходных данных, локализованных в области  $\rho_{\min} \leq \rho \leq \rho_{\max}$ . Для каждого последующего расчета величина  $\rho_{\max}$  увеличивалась до тех пор, пока не достигались устойчивые значения искомых параметров ( $K_I$  и  $T$ -напряжений). Соответствующую этому состоянию величину безразмерного радиуса обозначим  $\rho^*$ . Точку  $\rho = \rho^*$  кривой  $K_I = K_I(\rho_{\min})$ , после которой значение  $K_I$  становится стабильным ( $dK_I/d\rho_{\min} \rightarrow 0$ ), можно считать границей зоны, где имеет место неупругое поведение материала (см. рис. 5, а). Очевидно, что найденное при использовании в качестве зоны локализации исходных данных области  $\rho^* \leq \rho \leq \rho_{\max}^*$  аналитическое представление поля перемещений в виде разложения по функциям Вильямса позволяет корректно описать НДС в этой области.

Заметим, что из этого представления можно с высокой точностью определить величины параметров механики разрушения —  $K_I$  и  $T$ -напряжения, которые соответствовали бы состоянию исследуемого объекта с трещиной при отсутствии в окрестности вершины трещины пластических деформаций и других типов повреждений.

Таким образом, область  $\rho < \rho^*$  можно считать зоной неупругого деформирования (зоны поврежденного материала). Это весьма условное понятие, суть которого заключается в том, что в этой зоне НДС не соответствует асимптотическому решению задачи о трещине. Вместе с тем такой подход может дать весьма полезную информацию для анализа поведения трещины на основе экспериментальной информации о полях перемещений, зарегистрированных современными оптико-корреляционными методами.

## ЛИТЕРАТУРА

- Механика разрушения и прочность материалов / Под ред. В. В. Панасюка. Т. 1, 3, 4. — Киев: Наукова думка, 1988 — 1990.
- Махутов Н. А.** Конструкционная прочность, ресурс и техногенная безопасность. В 2 ч. — Новосибирск: Наука, Ч. 1: Критерии прочности и ресурса, 2005. — 493 с.; Ч. 2. Обоснование ресурса и безопасности, 2005. — 610 с.
- Партон В. З., Морозов Е. М.** Механика упругопластического разрушения: специальные задачи механики разрушения. — URSS, 2008. — 192 с.
- Матвиенко Ю. Г.** Модели и критерии механики разрушения. — М.: Физматлит, 2006. — 327 с.

5. Астафьев В. И., Радаев Ю. Н., Степанова Л. В. Нелинейная механика разрушения. — Самара: Изд-во «Самарский университет», 2004. — 562 с.
6. Волков И. А., Коротких Ю. Г. Уравнения состояния вязкоупругопластических сред с повреждениями. — М.: Физматлит, 2008. — 424 с.
7. Морозов Е. М., Никишков Г. П. Метод конечных элементов в механике разрушения. — М.: ЛКИ, 2008. — 254 с.
8. Куджанов В. Н. Компьютерное моделирование деформирования, поврежденности и разрушения неупругих материалов и конструкций. Учебное пособие. — М.: МФТИ, 2008. — 212 с.
9. Айрих В. А., Глаголов В. В. К определению напряженного состояния упругопластических тел с трещиной / Изв. Тульского государственного университета. Естественные и технические науки. 2014. Вып. 3. С. 58 – 70.
10. Клевцов Г. В. Закономерности образования упругопластических зон у вершины трещины при различных видах нагружения и рентгеновская фрактодиагностика разрушения / Вестник Оренбургского государственного университета. Естественные и технические науки. 2006. Т. 2. № 1. С. 81 – 88.
11. Емельянов О. В., Пелипенко М. П. Оценка размера зоны пластических деформаций в вершине усталостной трещины при воздействии перегрузок «растяжение» / Вестник Южно-Уральского государственного университета. 2014. № 4. С. 21 – 29.
12. Ботвина Л. Р. Разрушение: кинетика, механизмы, общие закономерности. — М.: Наука, 2008. — 334 с.
13. Полетика Т. М., Нариманова Г. Н., Колосов С. В. Пластическое течение в сплавах циркония с гексагонально-плотноупакованной решеткой на макро- и микроуровнях / Изв. Томского политехнического университета. 2004. Т. 307. № 4. С. 126 – 128.
14. Клюшинков В. А., Мишакин В. В. и др. Исследование поврежденности металла под защитным покрытием с помощью электромагнитно-акустического преобразователя / Вестник Нижегородского университета. 2010. № 5. С. 113 – 115.
15. Плещанов В. С., Кибиктин В. В., Напрюшкин А. А., Солодухин А. И. Измерение деформации материалов методом корреляции цифровых изображений / Изв. Томского политехнического университета. 2008. Т. 312. № 2. С. 343 – 349.
16. Digital Speckle Pattern Interferometry and Related Techniques / P. Rastogi (ed.). — West Sussex: John Wiley, 2001. — 384 p.
17. Yates J. R., Zanganeh M., Tai Y. H. Quantifying crack tip displacement fields with DIC / Engin. Fract. Mech. 2010. Vol. 77. P. 1682 – 1692.
18. Писарев В. С., Матвиенко Ю. Г., Одинцов И. Н. Определение параметров механики разрушения при малом приращении длины трещины / Заводская лаборатория. Диагностика материалов. 2012. Т. 78. № 4. С. 51 – 54.
19. Matvienko Yu. G., Pisarev V. S., Eleonsky S. I., Chernov A. V. Determination of fracture mechanics parameters by measurements of local displacements due to crack length increment / Fatigue Fract. Engin. Mater. Struct. 2014. Vol. 37. N 12. P. 1306 – 1318.
20. Литвинов И. А., Матвиенко Ю. Г., Разумовский И. А. О точности определения несингулярных компонент поля напряжений в вершине трещины с применением метода экстраполяции / Машиностроение и инженерное образование. 2014. № 4. С. 43 – 51.
21. Benthem J. R. A quarter-infinite crack in a half-space; alternative and additional solutuins / Int. J. Solid Struct. 1980. Vol. 16. N 2. P. 119 – 130.
22. Матвиенко Ю. Г. Несингулярные  $T$ -напряжения в проблемах двухпараметрической механики разрушения / Заводская лаборатория. Диагностика материалов. 2012. Т. 78. № 2. С. 51 – 58.

## REFERENCES

1. Panasyuk V. V. (ed.). Mekhanika razrusheniya i prochnost' materialov [Fracture mechanics and strength of materials]. Vol. 1, 3, 4. — Kiev: Naukova dumka, 1988 – 1990 [in Russian].
2. Makhutov N. A. Konstruktionsnaya prochnost', resurs i tekhnogennaya bezopasnost' [Structural strength, resource and technological safety: in 2 parts]. In 2 parts. — Novosibirsk: Nauka, Part 1: Kriterii prochnosti i resursa [The criteria for strength and resource], 2005. — 493 p.; Part 2. Obosnovanie resursa i bezopasnosti [Substantiation of resource and safety], 2005. — 610 p. [in Russian].
3. Parton V. Z., Morozov E. M. Mekhanika uprugoplasticheskogo razrusheniya: spetsial'nye zadachi mehaniki razrusheniya [The mechanics of elastic-plastic fracture: special problems of fracture mechanics]. — URSS, 2008. — 192 p. [in Russian].
4. Matvienko Yu. G. Modeli i kriterii mehaniki razrusheniya [The models and criteria of fracture mechanics]. — Moscow: Fizmatlit, 2006. — 327 p. [in Russian].
5. Astaf'ev V. I., Radaev Yu. N., Stepanova L. V. Nelineinaya mehanika razrusheniya [Non-linear fracture mechanics]. — Samara: Izd. "Samar'skii universitet," 2004. — 562 p. [in Russian].
6. Volkov I. A., Korotkikh Yu. G. Uravneniya sostoyaniya vyzakouprugoplasticheskikh sred s povrezhdeniyami [Equations of the state for the viscoelasticplastic medium with injuries]. — Moscow: Fizmatlit, 2008. — 424 p. [in Russian].
7. Morozov E. M., Nikishkov G. P. Metod konechnykh elementov v mehanike razrusheniya [The finite element method in fracture mechanics]. — Moscow: Izd. LKI, 2008. — 254 p. [in Russian].
8. Kudzhanov V. N. Komp'yuternoe modelirovaniye deformatiivnosti i razrusheniya neuprugikh materialov i konstruktsii. Uchebnoe posobie [Computer modeling of deformation, of damage to and destruction of non-elastic materials and structures. Tutorial]. — Moscow: Izd. MFTI, 2008. — 212 p. [in Russian].
9. Airikh V. A., Glagolev V. V. K opredeleniyu napryazhennogo sostoyaniya uprugoplasticheskikh tel s treshchinoi [By definition the stress state of the elastic-plastic bodies with crack] / Izv. Tul. Gos. Univ. Estestv. Nauki. 2014. Issue 3. P. 58 – 70 [in Russian].
10. Klevtsov G. V. Zakonomernosti obrazovaniya uprugoplasticheskikh zon u vershiny treshchiny pri razlichnykh vidakh nagruzheniya i rentgenovskaya fraktodiagnostika razrusheniya [Laws of elastic-plastic zone formation at the crack tip for different types of loading and destroying ray fraktodiagnosis] / Vestn. Orenburg. Gos. Univ. Estestv. Tekhn. Nauki. 2006. Vol. 2. N 1. P. 81 – 88 [in Russian].
11. Emel'yanov O. V., Pelipenko M. P. Otsenka razmera zony plasticheskikh deformatsii v vershine ustalostnoi treshchiny pri vozdeistviu peregruzok «rastayzhenie» [Estimating the size of the zone of plastic deformation in the top of the fatigue crack when exposed to overload "ten-sion"] / Vestn. Yuzh.-Ural. Gos. Univ. 2014. N 4. P. 21 – 29.
12. Botvina L. R. Razrushenie: kinetika, mehanizmy, obshchie zakonomernosti [Destruction: kinetics, mechanisms, general laws]. — Moscow: Nauka, 2008. — 334 p. [in Russian].
13. Poletika T. M., Narimanova G. N., Kolosov S. V. Plasticeskoe techenie v splavakh tsirkoniya s geksagonal'no-plotnoupakovannoj reshetkoj na makro- i mikrourovnyakh [Plastic flow in the zirconium alloys with a hexagonal close-packed lattice on the macro- and microlevels] / Izv. Tomsk. Politekhn. Univ. 2004. Vol. 307. N 4. P. 126 – 128 [in Russian].
14. Klyushnikov V. A., Mishakin V. V., et al. Issledovanie povrezhdennosti metalla pod zashchitnym pokrytiem s pomoshch'yu elektromagnitno-akusticheskogo preobrazovatelya [Investigation under the damaged metal sheeting using electromagnetoacoustic converter] / Vestn. Nizhegorod. Univ. 2010. N 5. P. 113 – 115 [in Russian].
15. Pleshakov V. S., Kibitkin V. V., Napryushkin A. A., Solodukhin A. I. Izmerenie deformatsii materialov metodom korrelyatsii tsifrovych izobrazhenii [Deformations measurement of materials by digital image correlation method] / Izv. Tomsk. Politekhn. Univ. 2008. Vol. 312. N 2. P. 343 – 349.
16. Digital Speckle Pattern Interferometry and Related Techniques / P. Rastogi (ed.). — West Sussex: John Wiley, 2001. — 384 p.
17. Yates J. R., Zanganeh M., Tai Y. H. Quantifying crack tip displacement fields with DIC / Engin. Fract. Mech. 2010. Vol. 77. P. 1682 – 1692.
18. Pisarev V. S., Matvienko Yu. G., Odintsev I. N. Opredelenie parametrov mehaniki razrusheniya pri malom prirashchenii dliny treshchiny [Determination of fracture mechanics parameters for a small increment of the crack length] / Zavod. Lab. Diagn. Mater. 2012. Vol. 78. N 4. P. 45 – 51 [in Russian].
19. Matvienko Yu. G., Pisarev V. S., Eleonsky S. I., Chernov A. V. Determination of fracture mechanics parameters by measurements of local displacements due to crack length increment / Fatigue Fract. Engin. Mater. Struct. 2014. Vol. 37. N 12. P. 1306 – 1318.
20. Litvinov I. A., Matvienko Yu. G., Razumovskii I. A. O tochnosti opredeleniya nesingulyarnykh komponent polya napryazhenii v vershine treshchiny s primeneniem metoda ekstrapolyatsii [On the accuracy button of non-singular stress field at the crack tip component using extrapolation method] / Mashinostr. Inzh. Obrazov. 2014. N 4. P. 43 – 51 [in Russian].
21. Benthem J. R. A quarter-infinite crack in a half-space; alternative and additional solutuins / Int. J. Solid Struct. 1980. Vol. 16. N 2. P. 119 – 130.
22. Matvienko Yu. G. Nesingulyarnye  $T$ -napryazheniya v problemakh dvukhparametricheskoi mehaniki razrusheniya [Nonsingular  $T$ -stress in two-parameter fracture mechanics problems] / Zavod. Lab. Diagn. Mater. 2012. Vol. 78. N 2. P. 51 – 58 [in Russian].